

## 鹰嘴豆 $\beta$ -半乳糖苷酶的分离纯化与表征 \*

李绪渊 赵克浩 \*\* 孟延发<sup>1</sup> 涂伟霞  
(兰州大学化学系, <sup>1</sup>生物系, 兰州 730000)

**摘要** 从鹰嘴豆中分离得到了三种  $\beta$ -半乳糖苷酶(酶 I、酶 II 和酶 III)。将酶 I 和酶 II 进一步纯化, 其比活力分别提高了 19 倍和 48 倍, 酶活力回收率分别为 16% 和 18%, 测得它们的表观分子量分别为  $2.4 \times 10^4$  和  $5.8 \times 10^4$ , 最适 pH 分别为 5.9 和 5.0, 最适温度分别为 55 ℃ 和 45 ℃。酶 I 水解 ONPG 和 PNPG 的  $K_M$  分别为  $3.3 \times 10^{-2} \text{ mol} \cdot \text{dm}^{-3}$  和  $6.0 \times 10^{-3} \text{ mol} \cdot \text{dm}^{-3}$ ; 酶 II 水解 ONPG 和 PNPG 的  $K_M$  分别为  $3.0 \times 10^{-3} \text{ mol} \cdot \text{dm}^{-3}$  和  $6.0 \times 10^{-4} \text{ mol} \cdot \text{dm}^{-3}$ 。乳糖和半乳糖为该酶的竞争性可逆抑制剂, 棉子糖为非竞争性可逆抑制剂。该酶受  $\text{Hg}^{2+}$  和 PCMB 强烈抑制和 NEM 明显抑制, 而  $\text{Mg}^{2+}$ 、 $\text{Zn}^{2+}$  和  $\text{Ca}^{2+}$  具有激活作用, 推知巯基 (-SH) 是酶活性中心必需基团。

**关键词:**  $\beta$ -半乳糖苷酶, 鹰嘴豆, 分离纯化, 表征, 酶催化作用

糖苷酶广泛存在于动植物体内, 因其具有异头及糖苷键结构的特异性, 在多种糖类降解<sup>[1,2]</sup>、有机合成<sup>[3,4]</sup>及生物生理<sup>[5,6]</sup>等诸多方面具有重要意义, 近年来引起人们广泛关注, 成为生物化学和酶催化化学重要研究课题。然而, 有关鹰嘴豆中  $\beta$ -半乳糖苷酶的研究, 迄今未见报导。本文采用硫酸铵分级沉淀、纤维素柱层析, 从植物鹰嘴豆中分离得到了三种  $\beta$ -半乳糖苷酶(酶 I、酶 II 和酶 III), 就其中酶 I 和酶 II 进行了离子交换纯化, 测定了纯化的酶 I 和酶 II 的纯度、比活性、酶活回收率、表观分子量、最适 pH 和最适温度, 以及水解邻硝基苯酚- $\beta$ -D-半乳糖苷(ONPG)和对硝基苯酚- $\beta$ -D-半乳糖苷(PNPG)的米氏常数  $K_M$ 。考察了几种化合物和金属离子对酶活性的影响, 推知巯基 (-SH) 是酶活性中心必需基团。并对乳糖、半乳糖和棉子糖的抑制作用进行了测定和讨论。

### 1 材料与方法

(1) 物料与试剂 鹰嘴豆购自甘肃省土特产公司, 浸泡 24 小时, 25℃ 暗培养发芽备用。DEAE- 纤维素(DE-32)、CM- 纤维素(CM-52)为 Whatman 公司产品; Sephadex G-200 为 Pharmacia Fine Chemicals 产品; 丙烯酰胺(Acr)为 Merck 公司产品;  $N,N'$ - 亚甲双丙烯酰胺为 Serva Feinbiochemica Heidelberg 产品; 考马斯亮蓝 R-250, 对硝基苯酚- $\beta$ -D-半乳糖苷(PNPG), 邻硝基苯酚- $\beta$ -D-半乳糖苷(ONPG), PNP- $\alpha$  和  $\beta$ -D-甘露糖苷, PNP- $\alpha$  和  $\beta$ -D-葡萄糖苷均为 Sigma 产品; 其它试剂为国产分析纯或化学纯。

(2) 蛋白质含量分析 采用 Lowry 法<sup>[7]</sup>, 以牛血清白蛋白(BSA)作标准, 用紫外分光光度计测定 280nm 处的吸光值。

1995-11-13 收到初稿, 1996-03-15 收到修改稿。联系人: 李绪渊。 \* 国家自然科学基金资助项目

\*\* 现在中国科学院生物物理研究所

(3) 分子量测定 采用凝胶过滤法, Sephadex G200 柱 ( $15\text{cm} \times 96\text{cm}$ ), 用含  $0.01\text{mol}\cdot\text{dm}^{-3}$  NaCl 的  $0.01\text{mol}\cdot\text{dm}^{-3}$  pH6.0 的磷酸缓冲液 (PBS) 充分平衡, 流速  $12\text{mL}\cdot\text{h}^{-1}$ . 将不同分子量的标准蛋白上柱测得各自的  $V_e$ , 将 Blue dextran ( $M_r > 2 \times 10^6$ ) 上柱测得  $V_0$ , 以  $V_e/V_0$  对  $\log M_r$  作工作曲线; 在同样条件下测定酶 I 和酶 II 的  $V_e$ , 依其  $V_e/V_0$  值及工作曲线求其分子量.

(4) 聚丙烯酰胺凝胶电泳 按文献<sup>[8]</sup> 采用垂直板电泳, 分离胶浓度 7% (质量分数, 下同), pH8.8; 浓缩胶浓度 4%, pH6.8; 电极缓冲液浓度  $0.025\text{mol}\cdot\text{dm}^{-3}$ , pH8.3; 用考马斯亮蓝 R-250 染色.

(5) SDS-聚丙烯酰胺凝胶电泳 按文献<sup>[9]</sup>, 采用 Laemmli 方法进行.

(6) 酶活力测定 以酶水解底物 ONPG 生成邻硝基苯酚 (ONP) 为指示反应, 反应液总体积  $0.5\text{mL}$  (含 pH4.0,  $0.1\text{mol}\cdot\text{dm}^{-3}$  柠檬酸缓冲液,  $5\text{mmol}\cdot\text{dm}^{-3}$  ONPG 及酶液),  $50^\circ\text{C}$  准确反应 20 分钟, 加入  $1.5\text{mL} 1.0\text{mol}\cdot\text{dm}^{-3}$  Na<sub>2</sub>CO<sub>3</sub> 终止反应, 于  $405\text{nm}$  处测定吸光值, 以改变 0.01 个吸光度值定义为一个酶活力单位 (u). 在计算酶促反应动力学常数时, 以每分钟释放 ONP 的  $\mu\text{mol}$  数表示酶活力和酶催化反应速度. 比活力以每毫克蛋白 (酶) 所具有的活力单位数表示.

(7) 柱层析蛋白质洗脱峰检测 用 FH8802 紫外检测仪检测, 波长  $280\text{nm}$ .

## 2 结果与讨论

### 2.1 $\beta$ -半乳糖苷酶的纯化

收集培养 7 天的鹰嘴豆黄化苗, 加 2 倍体积的含有  $1\text{mmol}\cdot\text{dm}^{-3}$  EDTA-Na 和 3% 甘油 (V/V) 的  $0.01\text{mol}\cdot\text{dm}^{-3}$  pH6.4 PBS, 低温下高速捣碎, 置冰箱中缓慢抽提 2 小时, 过滤后清液于  $77000\text{g}\cdot\text{min}^{-1}$  离心 0.5 小时, 收集上清液进行硫酸铵分级 (30~70% 饱和度) 沉淀. 将沉淀溶解于  $0.01\text{mol}\cdot\text{dm}^{-3}$  pH6.4 PBS 中, 流水透析脱盐, 适当浓缩后上入已用  $0.01\text{mol}\cdot\text{dm}^{-3}$  pH6.4 PBS 充分平衡的 DEAE-纤维素柱 (Cl<sup>-</sup>型,  $2.4\text{cm} \times 25\text{cm}$ ), 用同样缓冲液洗脱 (流速  $0.4\text{mL}\cdot\text{min}^{-1}$ ), 分管收集, 经检测获得酶活力峰即酶 I. 换用  $0\sim 0.6\text{mol}\cdot\text{dm}^{-3}$  NaCl 的同样缓冲液进行直线梯度洗脱, 经检测获得二个酶活力峰, 即酶 II 和酶 III (见图 1).

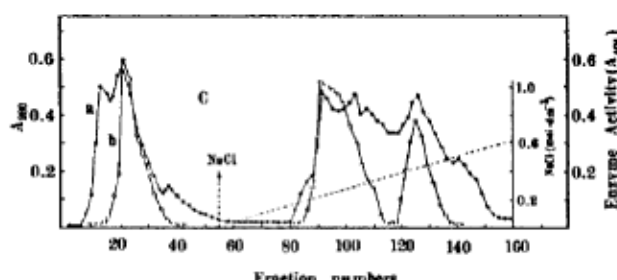


图 1  $\beta$ -半乳糖苷酶 DEAE-纤维素-32 柱层析图  
Fig.1 Elution profile on DEAE-cellulose-32 chromatography of  $\beta$ -galactosidase activity  
a) Absorption at  $280\text{nm}$ ;  
b)  $\beta$ -galactosidase activity

上述层析所得酶 I 和酶 II 再经  $0.01\text{mol}\cdot\text{dm}^{-3}$  pH5.0 柠檬酸缓冲液透析, 适当浓缩后, 上入已用  $0.01\text{mol}\cdot\text{dm}^{-3}$  pH5.0 柠檬酸缓冲液平衡的 CM-纤维素柱 (Na<sup>+</sup>型,  $2.4\text{cm} \times 24\text{cm}$ ), 用  $0\sim 0.5\text{mol}\cdot\text{dm}^{-3}$  NaCl 的平衡缓冲液进行直线梯度洗脱, 收集含有酶活力部分, 得到纯化的酶 I 和酶 II. 纯化步骤及结果见表 1. 纯化了的酶 I 和酶 II 的比活力比抽提液分别提高了 19 倍和 48 倍. 这与 Biswas<sup>[10]</sup> 提取的  $\beta$ -半乳糖苷酶相仿, 而步骤较之简练. 酶 III 很不稳定, 本文未做进一步纯化.

## 2.2 纯度分析

本文用五种人工合成糖苷 (PNP- $\alpha$ -D- 半乳糖苷, PNP- $\alpha$  和  $\beta$ -D- 葡萄糖苷, PNP- $\alpha$  和  $\beta$ -D- 甘露糖苷) 为底物测定了纯酶中相应的糖苷酶活力。结果表明, 纯酶中只含有极微弱的  $\alpha$ - 葡萄糖苷酶活力。纯化的酶 I 和酶 II 经聚丙烯酰胺凝胶电泳, 考马斯亮蓝 R-250 染色, 均显示单一蛋白着色带 (图 2); 经 SDS-PAGE, 考马斯亮蓝染色也显示为单一蛋白带; Sephadex G-200 层析亦表现为单一蛋白峰。这些结果均表明纯化的酶 I 和酶 II 是两种均一的  $\beta$ - 半乳糖苷酶; 并且, 两种酶均由单一条多肽链构成。

表 1  $\beta$ - 半乳糖苷酶纯化步骤及结果

Table 1 Summary of purification procedure of  $\beta$ -galactosidase

Purification step	Enzymic Volume (dm <sup>3</sup> × 10 <sup>-3</sup> )	Total activity (u)	Total protein (mg)	Specific activity (U/mg protein)	Purification factor	Recovery activity (%)
Crude extract	700	9160	329	28	1	100
Ammonium sulfate	34	6120	153	40	1.4	67
DEAE-cellulose	E I	61	1750	18	96	3.4
Chromatography	E II	130	2938	65	45	1.6
	E III	40	1624	37	44	1.6
CM-cellulose	E I	83	1450	2.8	518	18.5
Chromatography	E II	89	1624	1.2	1353	48.3

## 2.3 分子量测定

采用 Sephadex G-200 凝胶过滤法测定  $\beta$ - 半乳糖苷酶的分子量, 用已知分子量的标准蛋白实验所得工作曲线如图 3 所示。依工作曲线, 实验测得酶 I 和酶 II 的表观分子量分别为  $2.4 \times 10^4$  和  $5.8 \times 10^4$ , 后者与红豆中该酶的分子量相同<sup>[1]</sup>, 而与蚕豆中该酶的分子量相近<sup>[6]</sup>。

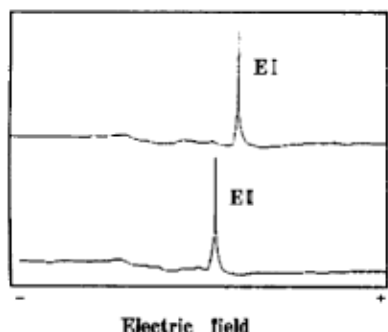


图 2 纯化的  $\beta$ - 半乳糖苷酶 I 和 II 的聚丙烯酰胺凝胶电泳扫描图

Fig.2 Scanning profile of purified  $\beta$ -galactosidase I and II after polyacrylamide gel electrophoresis

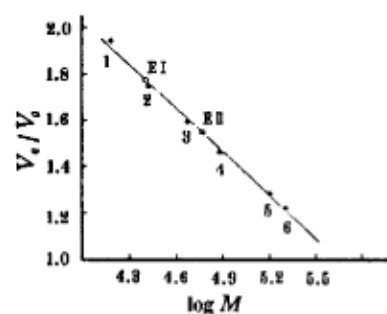


图 3  $\beta$ - 半乳糖苷酶分子量测定工作曲线

Fig.3 Plot of molecular mass determination of  $\beta$ -galactosidase

1) Cytochrome C; 2) Chymotrypsinogen; 3) Hen Egg Albumin; 4) BSA; 5) Aldolase; 6) Catalase; E I: Purified  $\beta$ -galactosidase; E II: Purified  $\beta$ -galactosidase

## 2.4 最适 pH 和最适温度

在 50 °C, pH 2~10 范围的柠檬酸-磷酸缓冲液中, 测定  $\beta$ -半乳糖苷酶 I 和 II 水解 ONPG 的酶活力, 结果如图 4 所示。由图看出, 酶 I 和酶 II 分别在 pH 5.9 和 pH 5.0 左右有最大酶活力, 它们的酶活性酸碱稳定区约为 pH 4.5~7.5 和 pH 4.0~7.5。

在最适 pH 条件下, 本文测定不同温度时酶 I 和酶 II 水解 ONPG 的酶活力, 结果见图 5。可以看出, 酶 I 在 55 °C 时活力最高, 而酶 II 在 45 °C 时活力最高; 并且, 它们对温度都有较高敏感性, 表观酶活力为 80% 以上的温度都比较窄, 酶 I 大致在 47.5~61.5 °C 以内, 酶 II 在 36.5~55.5 °C 之间。

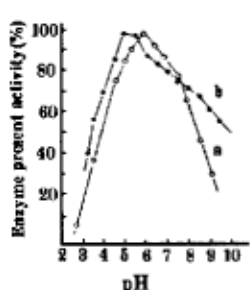


图 4 pH 对  $\beta$ -半乳糖苷酶活性的影响

Fig.4 Effect of pH on  $\beta$ -galactosidase activity

- a)  $\beta$ -galactosidase I
- b)  $\beta$ -galactosidase II

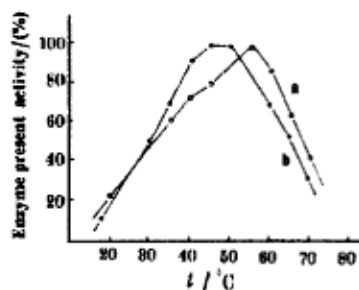


图 5  $\beta$ -半乳糖苷酶活性与温度的关系

Fig.5 Relationship between  $\beta$ -galactosidase activity and temperature

- a)  $\beta$ -galactosidase I
- b)  $\beta$ -galactosidase II

## 2.5 一些金属离子和化合物对酶活性的影响

本文测定了不同浓度 KCl、MgCl<sub>2</sub>、CaCl<sub>2</sub>、ZnCl<sub>2</sub>、HgCl<sub>2</sub>、FeCl<sub>3</sub>, 对氯汞苯甲酸 (PCMB) 和 N-乙酰顺丁烯二酰亚胺 (NEM) 对  $\beta$ -半乳糖苷酶活性的影响, 结果见表 2。可以看出, Mg<sup>2+</sup>、Ca<sup>2+</sup>、Zn<sup>2+</sup> 和 K<sup>+</sup> 都不抑制酶活性, 并有不同的激活作用。而 Hg<sup>2+</sup> 和 PCMB 强烈抑制酶活性, Fe<sup>3+</sup> 和 NEM 也有明显抑制作用。据此, 本文推知巯基 (-SH) 是为鹰嘴豆  $\beta$ -半乳糖苷酶活性中心必需基团。

## 2.6 米氏常数 $K_M$ 和抑制常数 $K_i$ 测定

本文在 50 °C 及 pH 5.0 的缓冲体系中, 保持总体积及酶量不变, 分别测定了酶 I 和酶 II 水解不同浓度 PNPG 和 ONPG 的酶活力, 并以酶活力表示反应速度, 采用 Lineweaver-Burk 双倒数法作图, 求得酶 I 水解 PNPG 和 ONPG 酶促反应的米氏常数  $K_M$  分别为  $6 \times 10^{-3}$  mol·dm<sup>-3</sup> 和  $3.3 \times 10^{-2}$  mol·dm<sup>-3</sup>, 酶 II 水解 PNPG 和 ONPG 的米氏常数  $K_M$  分别为  $6 \times 10^{-4}$  mol·dm<sup>-3</sup> 和  $3.0 \times 10^{-3}$  mol·dm<sup>-3</sup>。本文鹰嘴豆  $\beta$ -半乳糖苷酶的这些  $K_M$  值与 Simos<sup>[12]</sup> 等人所测玉米粉、黑麦、菠菜及大麦芽中  $\beta$ -半乳糖苷酶水解 ONPG 的  $K_M$  值较为相近而又有所不同。这可能是植物种属不同, 造成其酶的功能基团及其结构境遇不尽相同所致。

此外, 本文还研究了底物类似物棉子糖、乳糖和 D-半乳糖对纯化的酶 I 和酶 II 水解 ONPG 的抑制作用。结果表明, 三种底物类似物均表现为可逆性抑制作用, 其中乳糖和 D-半乳糖为竞争性抑制, 而棉子糖为非竞争性抑制。这与龚笑梅<sup>[6]</sup> 等研究这三种底物类似物抑制蚕豆中  $\beta$ -半乳糖苷酶水解 ONPG 结果一致。本文按照 Michaelis-Menten 机理, 并采用 Lineweaver-Burk

双倒数法作图，求得乳糖、*D*-半乳糖和棉子糖抑制酶Ⅰ水解ONPG的抑制常数 $K_i$ 分别为 $12.5 \times 10^{-3} \text{ mol} \cdot \text{dm}^{-3}$ 、 $6.9 \times 10^{-3} \text{ mol} \cdot \text{dm}^{-3}$ 和 $68.8 \times 10^{-3} \text{ mol} \cdot \text{dm}^{-3}$ ，抑制酶Ⅱ水解ONPG的抑制常数 $K_i$ 分别为 $11.7 \times 10^{-3} \text{ mol} \cdot \text{dm}^{-3}$ 、 $9.3 \times 10^{-3} \text{ mol} \cdot \text{dm}^{-3}$ 和 $57.5 \times 10^{-3} \text{ mol} \cdot \text{dm}^{-3}$ ，可以看出，三种底物类似物抑制鹰嘴豆 $\beta$ -半乳糖苷酶水解ONPG的强弱次序为*D*-半乳糖、乳糖和棉子糖。

表2 一些金属离子和抑制剂对 $\beta$ -半乳糖苷酶活性的影响  
Table 2 Effect of ions and inhibitors on  $\beta$ -galactosidase activity

Reagent	$\beta$ -galactosidase I		$\beta$ -galactosidase II	
	Concentration	Relative activity	Concentration	Relative activity
KCl	$10 \times 10^{-3}$	91.6	$6 \times 10^{-3}$	120
	$20 \times 10^{-3}$	96.5		
	$40 \times 10^{-3}$	98.8		
$MgCl_2$	$5 \times 10^{-3}$	100.4	$6 \times 10^{-3}$	122
	$10 \times 10^{-3}$	104.2		
	$20 \times 10^{-3}$	112.5		
$CaCl_2$	$5 \times 10^{-3}$	101	$6 \times 10^{-3}$	103
$ZnCl_2$	$5 \times 10^{-3}$	101	$5 \times 10^{-3}$	108
	$10 \times 10^{-3}$	106		
	$20 \times 10^{-3}$	108		
$HgCl_2$	$1 \times 10^{-3}$	16	$6 \times 10^{-3}$	13.5
	$2.5 \times 10^{-3}$	0		
	$5 \times 10^{-3}$	0		
$FeCl_3$	$1 \times 10^{-3}$	55.4	—	—
	$5 \times 10^{-3}$	44.8		
	$10 \times 10^{-3}$	18.8		
PCMB	$0.1 \times 10^{-3}$	0	—	—
	$0.5 \times 10^{-3}$	0		
	$1 \times 10^{-3}$	0		
NEM	$1 \times 10^{-3}$	68	—	—
	$5 \times 10^{-3}$	47		
	$10 \times 10^{-3}$	42		

### 参 考 文 献

- 1 Dey P M, Delcampillo E. *Adv. Enzymol.*, 1984, 56:141
- 2 Edwards M, Bowman Y J L, Dea I C M, et al. *J. Bilo. Chem.*, 1988, 263:4333
- 3 Piešecki S, Teng W Y, Hochuli E. *Biotech. Bioeng.*, 1993, 42:128
- 4 Nilsson K G I. *Carbohydr. Res.*, 1988, 180:53
- 5 Kobata A. *Bio. Carbohydrates*, 1984, 2:131
- 6 龚笑梅, 孙册等. 生物化学与生物物理学报, 1991, 2:157

- 7 Lowry O H, Rosebroagh N J, Farr A L, et al. *J. Bio. Chem.*, 1951, 193:265
- 8 Reisfeld R A, Lewis V J, Williams D E. *Nature*, 1962, 195:281
- 9 Laemmli U K. *Nature*, 1970, 227:680
- 10 Biswsa T K. *Phytochemistry*, 1987, 2:359
- 11 Biswas T K. *Phytochemistry*, 1985, 12:2831
- 12 Simos G, Giannakouros T, Georgatsos J G. *Phytochemistry*, 1989, 10:2578

## Purification and Characterization of $\beta$ -galactosidases from *Cicer Arietinum*

Li Xuyan Zhao Kehao Meng Yanfa<sup>1</sup> Tu Weixia

(Department of Chemistry and <sup>1</sup>Department of Biology, Lanzhou University, Lanzhou 730000)

**Abstract** Gram chicken bean exhibits a high level of  $\beta$ -galactosidase activity, and the three components contained in it are responsible for this activity.  $\beta$ -galactosidase I, II and III were separated by ammonium sulphate fractionation (30%~70% saturation) and by ion-exchange chromatography on DEAE-cellulose-32.  $\beta$ -galactosidase I and II, in particular, were purified by subsequent chromatography on CM-cellulose-52. Specific activities of them were improved by 19 times and 48 times, meanwhile, recovery activities were 16% and 18% respectively. The two enzymes were homogeneous as judged by polyacrylamide gel electrophoresis and Sephadex G-200 molecular sieve chromatography. Their molecular weights were determined to be 24 000 and 58 000 respectively.  $\beta$ -galactosidase I had an apparent  $K_M$  of  $6.0 \times 10^{-3} \text{ mol} \cdot \text{dm}^{-3}$  for *p*-nitrophenyl- $\beta$ -D-galactoside (PNPG) and  $3.3 \times 10^{-2} \text{ mol} \cdot \text{dm}^{-3}$  for *o*-nitrophenyl- $\beta$ -D-galactoside (ONPG).  $\beta$ -galactosidase II had an apparent  $K_M$  of  $6.0 \times 10^{-4} \text{ mol} \cdot \text{dm}^{-3}$  for PNPG and  $3.0 \times 10^{-3} \text{ mol} \cdot \text{dm}^{-3}$  for ONPG. Galactose and lactose both competitively inhibited the activity of enzymes. Raffinose uncompetitively inhibited the activity of enzymes. Ions  $Mg^{2+}$ ,  $Zn^{2+}$  and  $Ca^{2+}$  stimulated the activity. The two enzymes were markedly inhibited by  $Hg^{2+}$ , PCMB and NEM, which suggested that tryptophan (-SH) was necessary for enzyme function.

**Keywords:**  $\beta$ -galactosidase, *Cicer arietinum*, Purification, Characterization, Enzyme catalytic function